# TerraSAR-X (DLR) 強度画像による霧島山・新燃岳モニタリング (2013 年 6 月~2013 年 9 月) \*

Monitoring of Shinmoe-dake volcano by TerraSAR-X (DLR) (June 2013-September 2013)

防災科学技術研究所\*\*

宇宙航空研究開発機構\*\*\*

National Research Institute for Earth Science and Disaster Prevention

Japan Aerospace Exploration Agency

宇宙航空研究開発機構(JAXA)がドイツ航空宇宙センター(DLR)との間で実施している「人工衛星による災害監視に係る研究開発協力」を通じて取得した、TerraSAR-X(テラサーエックス; X-band 合成開口レーダ搭載)データを用い、北行、南行両軌道より霧島山・新燃岳の火口モニタリングを行った、TerraSAR-Xによる高頻度で高分解能の強度画像取得により、2013年6月1日(JST、以下同じ)以降の火口内の様子を把握することが出来た、以下は画像判読例。

2011 年噴火以降,火口内に小さな火孔(もしくは噴気孔)が多数生じ,現在も(最新の画像は 2013 年 9 月 21 日取得)表面には凹凸が見られる.本報告における観測期間(2013 年 6 月-2013 年 9 月)には,顕著な変化は見られなかった.

#### 謝辞

本報告で使用した TerraSAR-X データの所有権は DLR が有するものであり、 JAXA と DLR による、衛星を利用した災害監視に係る共同研究を通じて配布されたものである.

This article is based upon the results from the cooperative activities between German Aerospace Center (DLR) and JAXA in the field of Satellite Disaster Monitoring. We are grateful to DLR for contributing to this research activity with TerraSAR-X and/or TanDEM-X data.

※使用偏波は全て HI 偏波のみ.

※入射角は画像中心における値.

※DEM による幾何補正は行っていない.

※オルソ補正を行っていないため、観測方向及び入射角の違いによって見え方が異なる.

※Strip-map モードの分解能はおよそ 3.5m, Spotlight モードの分解能はおよそ 1.5-3.5m 程度.

\* 2013年11月22日受付

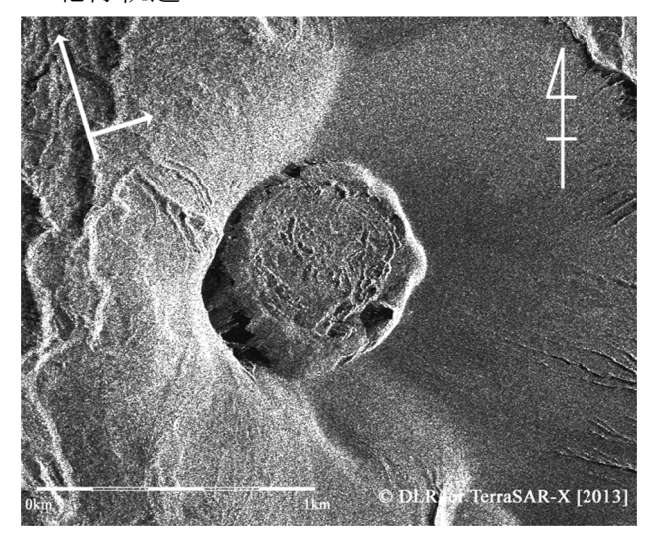
\*\* 宫城洋介,小澤拓,棚田俊收

Yousuke Miyagi, Taku Ozawa, Toshikazu Tanada

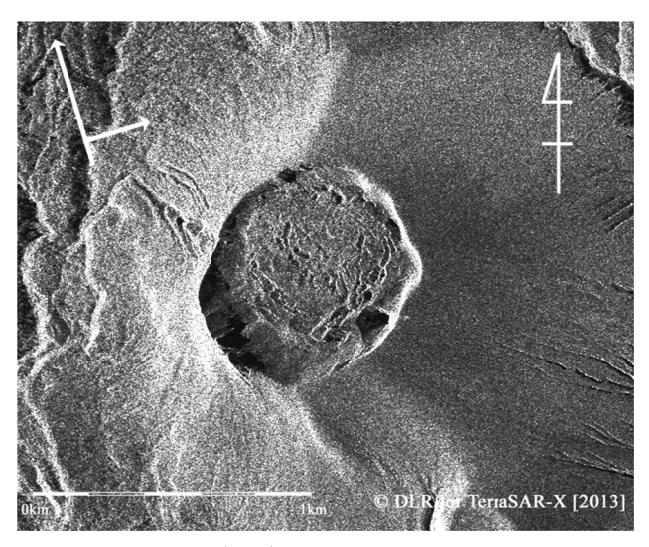
\*\*\* 島田政信

Masanobu Shimada

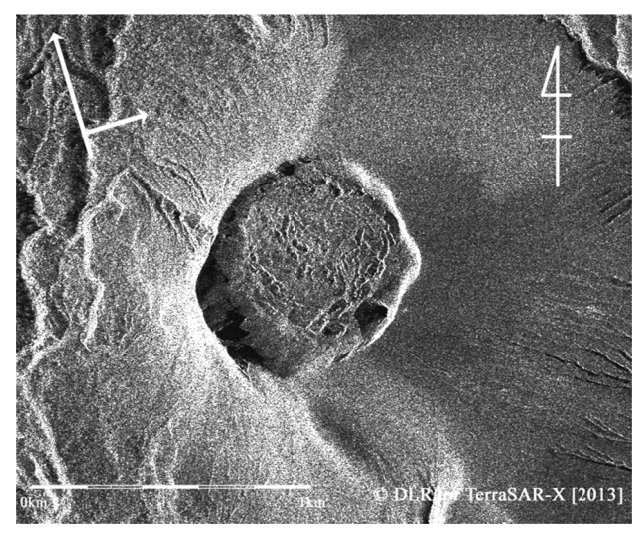
## <北行軌道>



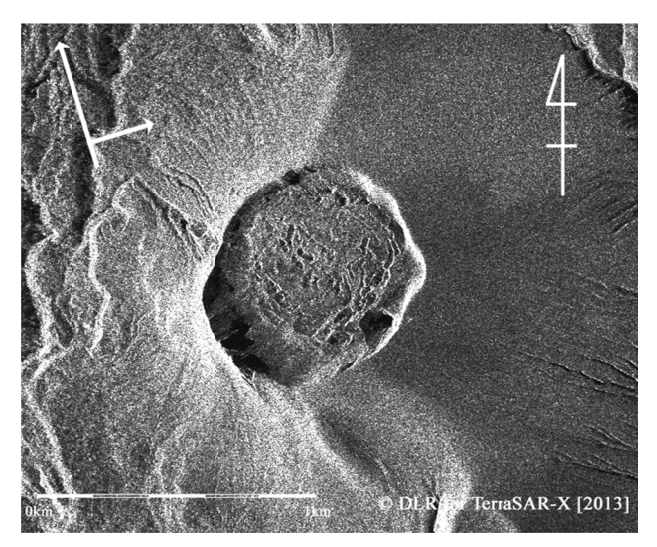
2013/6/3 18:10 (JST), Spotlight, 入射角: 31.25°



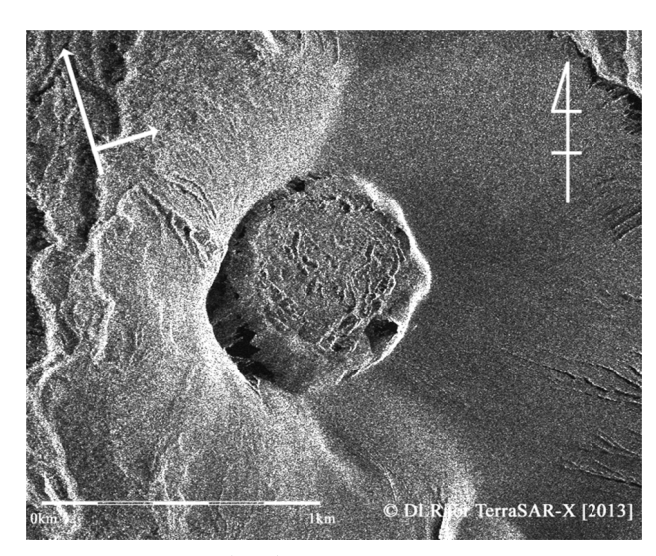
2013/6/25 18:10 (JST), Spotlight, 入射角: 31.21°



2013/7/17 18:10 (JST), Spotlight, 入射角: 31.20°

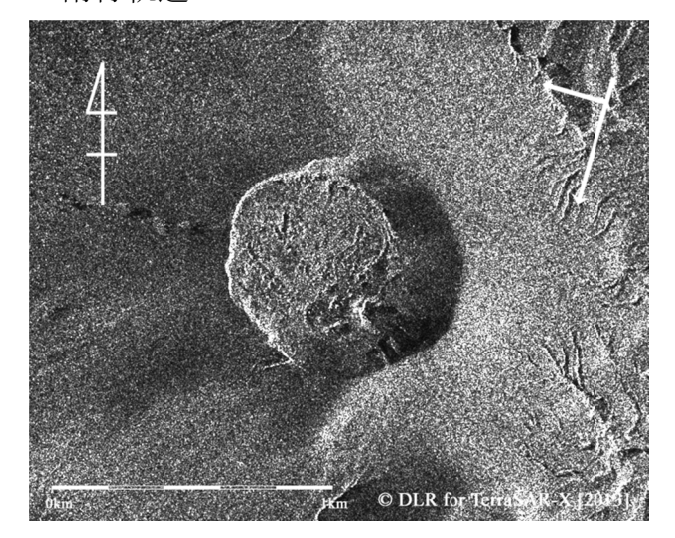


2013/8/19 18:10 (JST), Spotlight, 入射角: 31.22°

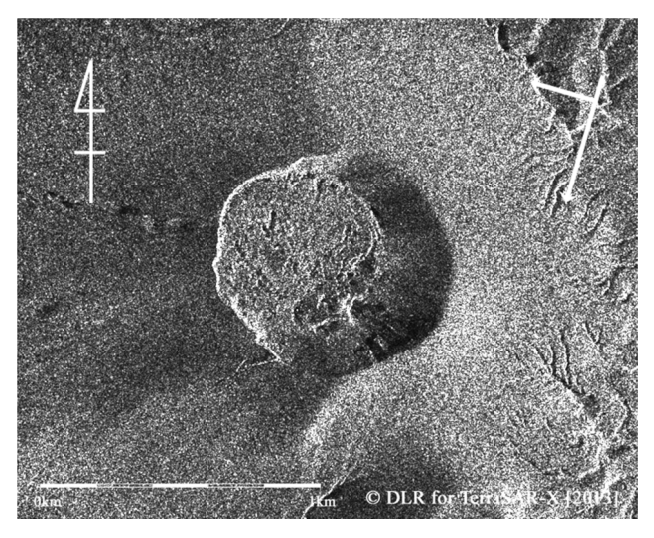


2013/9/21 18:10(JST), Spotlight, 入射角: 31.22°

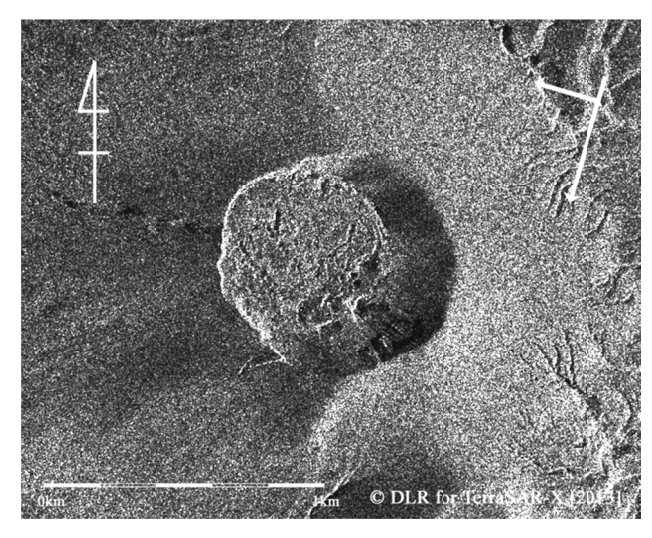
## <南行軌道>



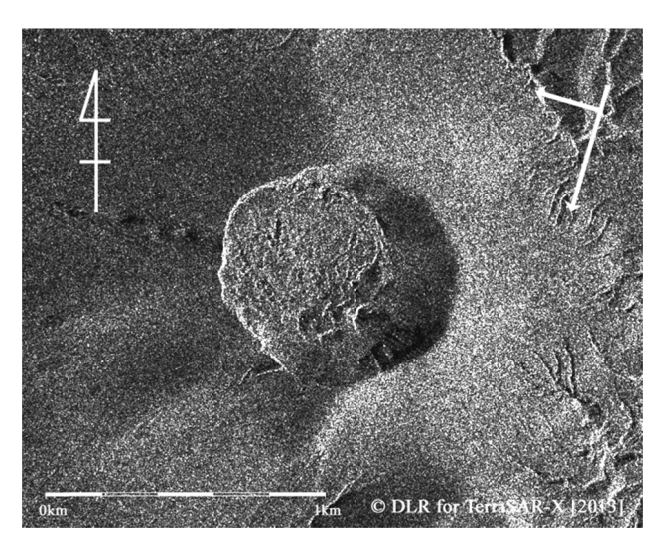
2013/6/2 6:19 (JST), Stripmap, 入射角: 39.36°



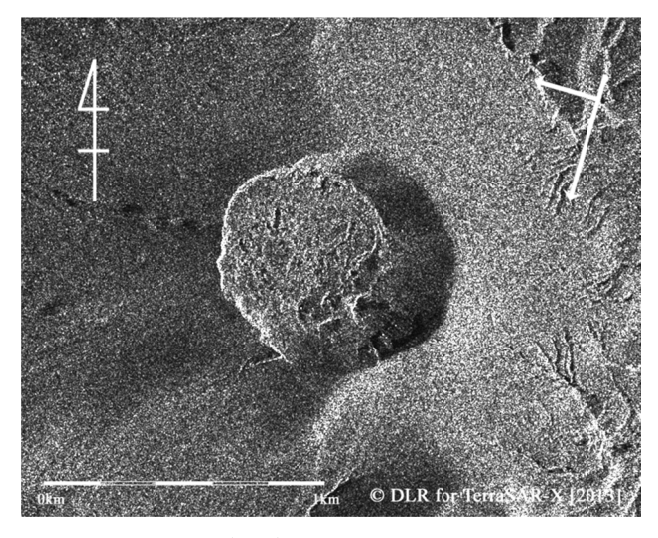
2013/6/24 6:19 (JST), Stripmap, 入射角: 39.36°



2013/7/5 6:19 (JST), Stripmap, 入射角: 39.36°



2013/7/16 6:19 (JST), Stripmap, 入射角: 39.36°



2013/8/18 6:19 (JST), Stripmap, 入射角:39.36°

## 霧島山・新燃岳に対する TerraSAR-X/InSAR 解析の結果

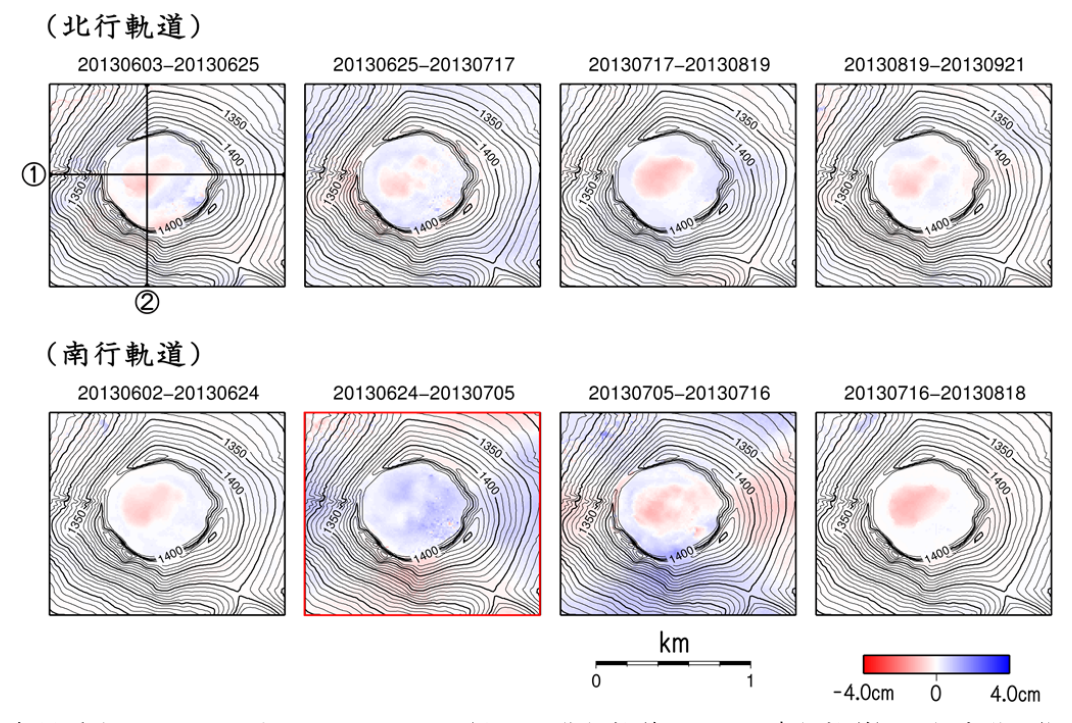
霧島山・新燃岳及びその周辺における地殻変動を調査するため、TerraSAR-Xのデータを用いた SAR 干渉解析(InSAR 解析)を実施した。観測は 2013 年 6 月以降 11 日,22 日,33 日間隔で実施され,2013 年 9 月 21 日(北行軌道)までデータが取得された。各期間の干渉画像を第 1 図に示す。前回までの火山噴火予知連における報告[防災科研,2012;2013;2013]と同様に、概ね火口内溶岩表面におけるスラントレンジ短縮(衛星と地面の距離が縮むこと)を示す位相変化が見られ、火口内溶岩の体積増加に起因すると思われる隆起が検出された。しかし、南行軌道の 2013 年 6 月 24 日-2013 年 7 月 5 日期間(第 1 図中赤枠)の画像から、隆起が止まった可能性が示唆される。その後再び隆起が検出され、2013 年 9 月 21 日時点でも継続している。第 2 図に示す火口内溶岩の体積増加レートは徐々に減少してきている。

#### 引用資料

防災科学技術研究所,霧島山・新燃岳に対する TerraSAR-X/InSAR 解析の結果,第 124 回火山噴火予知連絡会提出資料,2012

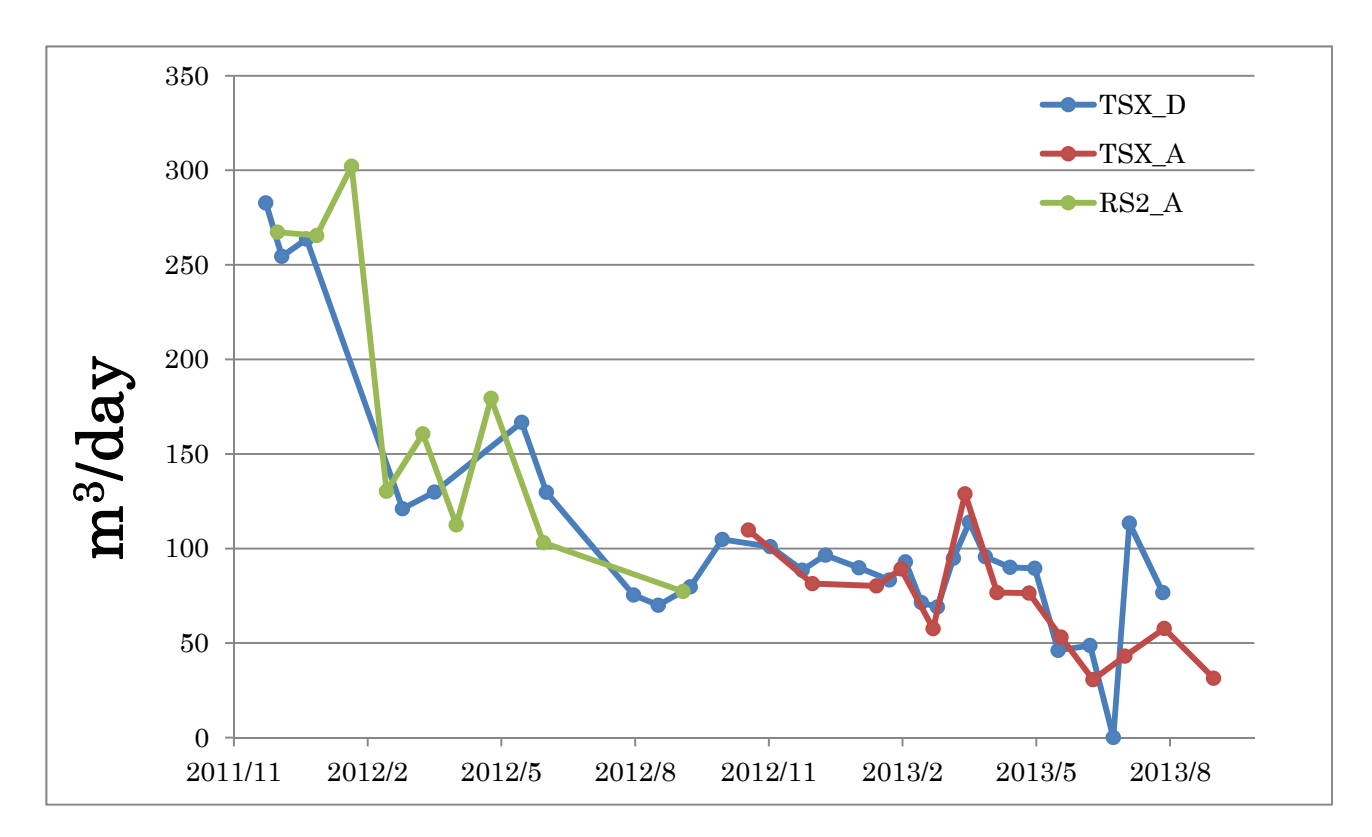
防災科学技術研究所,霧島山・新燃岳に対する TerraSAR-X/InSAR 解析の結果,第 125 回火山噴火予知連絡会提出資料,2013

防災科学技術研究所,霧島山・新燃岳に対する TerraSAR-X/InSAR 解析の結果,第 126 回火山噴火予知連絡会提出資料、2013



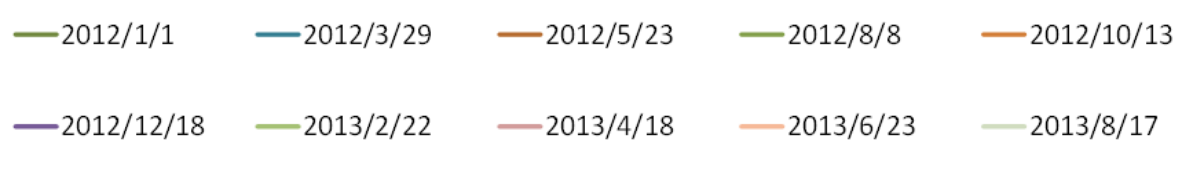
第1図. 新燃岳火口周辺に対する TerraSAR-X (上段:北行軌道,下段:南行軌道) 地殻変動画像の拡大図. 解析に使用した SAR 画像の観測日は各画像の上に示す. 赤い領域はスラントレンジ短縮 (隆起を含む地殻変動) を示す. なお比較のため観測期間は11日間に正規化してある.

**Fig.1.** Slant range change within and around the Shinmoe-dake crater (top: Ascending, bottom: Descending). Red areas indicate a shortening of the satellite-ground distance including uplift. In order to compare, results are normalized by 11 days.

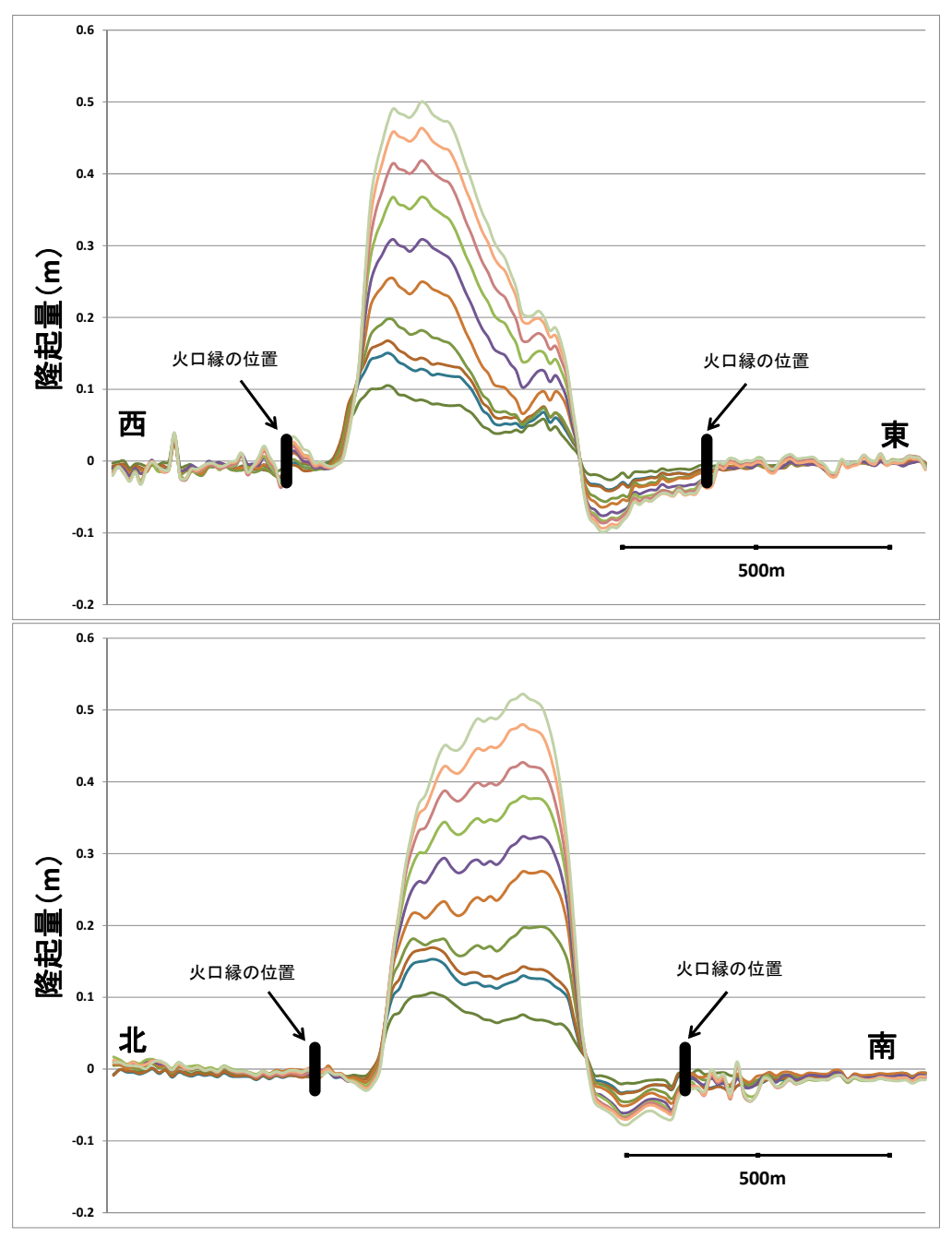


第2図. 火口内のスラントレンジ変化は上下変位のみによる,と仮定して求めた体積増加速度の時間変化. 青線は TerraSAR-X/南行軌道のデータから,赤線は TerraSAR-X/北行軌道のデータから,緑線は RADARSAT-2 のデータからそれぞれ見積もられた値(※なお,隆起部分の地殻変動データのみを使用). 2013 年 6 月下旬 に一度体積の増加が停止したが,その後再開した.

**Fig. 2.** Volume change rate of the lava within the crater under the assumption that the satellite-ground distance change is caused by just vertical displacements. Blue and red lines were estimated using TerraSAR-X descending and ascending data, respectively, and a green line was estimated using RADARSAT-2 data.



### ※2011/11/18を基準とする.



第3図. 2011年11月18日を基準とした,2012年1月1日から2013年8月17日までの地殻変動(積算)をミマツダイヤグラム風に表した図. 第1図で示した側線①(東西方向)に沿ったものを上段,側線②(南北方向)に沿ったものを下段に示す. ※地殻変動データを得られなかった期間については変動量0と仮定しているため,最大で約10cm程度過小評価していると思われる.

**Fig. 3.** A diagram indicating integrated displacements from 2012/1/1 to 2013/8/17 relative to 2011/11/18, along the East-West profile (top) and North-South profile (bottom) in Fig. 1.